# 戸建て住宅を対象とした通風性能評価に関する研究 - 通風性能に関する全国を対象としたデータベースの構築-

渡部 大陸 指導教官 赤林 伸一 教授

1 研究目的

近年、CO<sub>2</sub>などの排出増加に伴う地球温暖化問題を背景にして、住宅などで消費される民生用エネルギーを減少させるために、自然エネルギーを有効に利用し、居住環境を調整する手法が注目されている。寒冷地を中心に普及してきた高気密・高断熱化住宅は、冬季の室内温熱環境の改善、暖房負荷の低減に対しては効果を発揮している。しかし、この高気密・高断熱化住宅が比較的温暖な地域にも建設されるようになり、特に夏季の室内温熱環境の悪化、冷房用エネルギーの大幅な増加が懸念されている。これに対し、省エネルギー手法の一つである通風を利用し、居住者の体感温度を低下させることは、冷房の使用率を低下させる効果があり、今後の積極的な利用が望まれる。

通風による効果は、立地条件・地域条件・建物形状に大きな影響を受けるが、これらの条件を考慮して通風性能を定量的に評価している例は極めて少ない。特に、地域条件により通風の効果は大きく異なる。また、建物の開口条件は、それぞれの都市の気象条件により変化すると考えられる。

本研究では、単純住宅モデルを対象に、開放する窓の条件を変化させ、全国842都市における室内通風デグリアワー(以下CVDH)を算出する。室内CVDHから各都市の最適な窓の開放条件を定量的に解析することにより、全国を対象とした通風設計資料を作成し、通風性能に関するデータベースを構築することを目的とする。

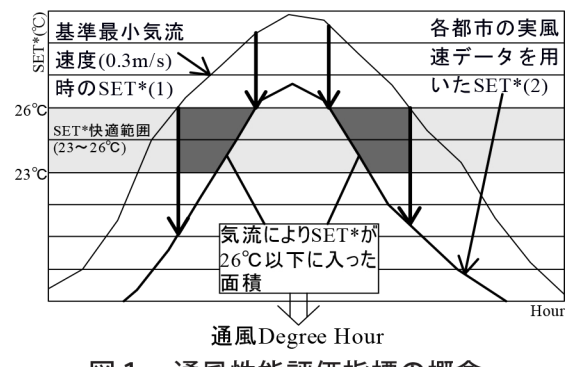


図1 通風性能評価指標の概念

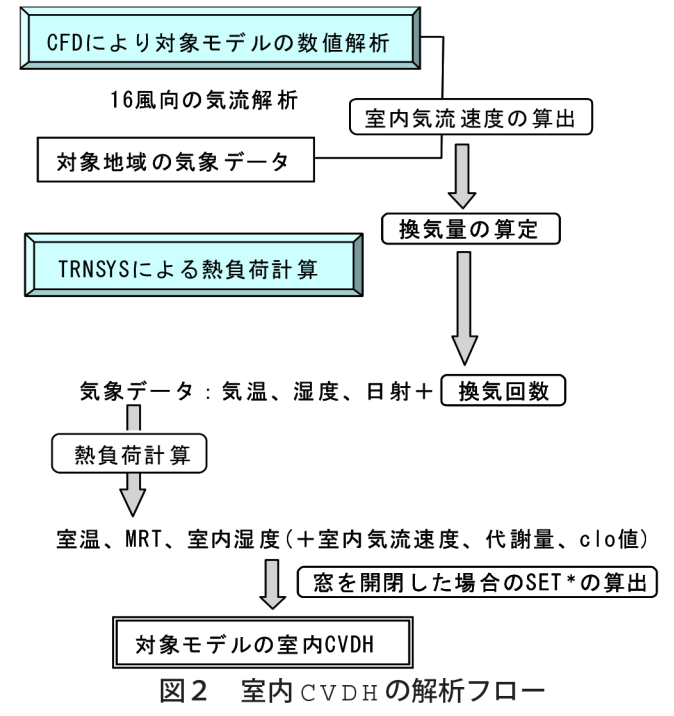
# 2 研究概要

2.1 通風デグリアワーの定義 (CVDH:Cross Vertilation Degree Hour)

図1に本研究で使用する通風性能評価指標の概念を示す。SET\*を算出する際の風速値は、人体周辺の熱対流を考慮し、最小風速を0.3m/s、最大風速を3.0m/sとする。基準最小風速(0.3m/s)時のSET\*(1)の時間変化を最初に計算し、次に快適範囲の上限であるSET\*が26℃を超えている時間を対象に、各都市の風速データによるSET\*(2)と比較し、下限値のSET\*を23℃として時間数にSET\*の差(SET\*(1)-SET\*(2))を乗じてCVDHを算出する。すなわち、CVDHはそれぞれの地域において、気流のみの影響により、SET\*が26℃を超えている時間に人体の体感温度をどの程度低下させるかを示す指標である。

## 2.2 室内 CVDH の概要

図2に室内CVDHの解析フローを示す。最初に対象 モデルの室内外気流分布を明らかにするため数値流体 解析を行い、対象モデル16風向の気流分布を算出する。



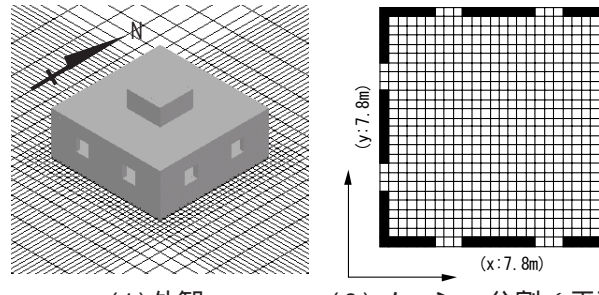
次に、対象都市の風向、風速から換気量を算出し、熱 負荷シミュレーションソフトTRNSYSにより、対象建 物の室温、MRT、相対湿度を算出する。これらの結果 から非暖房期間において窓を開放した場合と閉鎖した 場合のSET\*を算出し、室内CVDHを算出する。

## 2.3 解析条件

表1にCFD解析条件、図3に解析対象モデルの外観とメッシュ分割(平面)を示す。乱流モデルは標準k-モデルとし、建蔽率は0%(周囲に建物が無い)とする。解析対象モデルは、一つの開口面積を0.81㎡(0.9m×0.9m)とし、開放する窓の数と位置を変化させた25caseとする。表2に窓の開放条件を示す。南側壁面の位置は全caseにおいて開放する。各caseにおいて16風向の数値解析を行い、風速比データをもとに日本建築学会拡張アメダス気象データが整備されている842都市の室内CVDHを求める。

表1 CFD解析条件

乱流モデル	標準k-εモデル
建蔽率(%)	O(周囲に建物が無い)
風向	全16風向
室内解析メッシ	26 (x) ×26 (y) ×14 (z) =9464איני
窓面積(㎡)	0.81 (=0.9×0.9)



(1)外観 (2)メッシュ分割(平面) 図3 単純住宅モデルの外観とメッシュ分割

## 2.4 解析方法

室内外気流分布は、標準k - モデルを用いた数値流体解析手法(CFD2000)により行う。基準風速高さは全 case において地上高さ 6.5m とし、基準風速は 3 m/s とする。建ペイ率は 0 % (周囲に建物が無い)として室内風速比の計算を行う。全国 842 都市を対象とし、気象データには日本建築学会拡張アメダス気象データを用い、熱負荷シミュレーションソフト TRNSYS によりcase 毎に熱負荷計算を行う。各都市の非暖房期間における SET を算出し室内 CVDH を算出する。室内 CVDH の平均値から都市毎に case の順位をつけ、それぞれの都市に適した窓の開放条件を示す。算出された室内 CVDH のデータから全国を対象とした通風設計資料を作成し、通風性能のデータベースを構築する。

## 3 解析結果

## 3.1 全国非暖房期間の算出結果

表3に主要都市の非暖房期間を示す。北海道はどの都市でも非暖房期間が短く、札幌76日、釧路34日となる。本州では避暑地の軽井沢や山間部の草津で、同じ県内の平野部にある前橋や長野の半分程度であり、非暖房期間は短く、阿蘇山で59日である。関東、東海、関西地方では150~160日、四国、九州地方では170~200日前後に多く分布している。沖縄では暖房期間がほとんどなく、一年を通して温暖である。非暖房期間は北から南、山間部から平野・海岸部に向けて長くなる。

## 3.2 CFD 解析結果

図4に風向S時の室内気流分布(case 1、case 3、case 8、case 24)を示す。2つの開口部をもつcase 1と

つの開口面積は0.81㎡(0.9m×0.9m)とし、南側⑤は全caseで開放する case1 case2 case3 case4 case5 開口数2 **(4**) case10 case8 case11 case7 <u>case12</u> case6 case9 開口数3 (1), (2)(2), (7)**3**. **4**) (1), (7)(1), (8)(7). (8)**3**. **4** 開口位置 case14 case18 case19 case13 case15 case16 case17 (1), (2), (7) (1), (2), (8) [1, 2, 3, 1, 7, 8, 1, 3, 8 (4), (7), (8) (1), (2), (6) 開口数4 case22 case24 case21 case23 case2 (6, 7), (8, 2), (7), (8, 2), (4), (7, 2), (3), (4, 1), (3), (7)

表 2 窓の開放条件

表3 主要都市の非暖房期間

case 3を比べると、case 1は開口部を結ぶ通気輪道が形成されている。また、室全体に循環流が生じており、室全体で気流速度が速くなっている。case 3は流入側の開口部から室全体に気流が広がっており、開口部を結ぶ通気輪道が形成されていない。そのため、室内に循環流がほとんど形成されず、開口部付近は気流速度が速くなっているが、室内では気流速度が遅くなっている。case 1に開口を一つ増やしたcase 8 では、case 1と同様に循環流が生じ、室全体の気流速度が速くなる。また、流入側の気流速度は速くなっている。一つの流入部に対して2つの流出部がある場合、気流が二方向に分かれるため、流出部の速度は遅くなる。4つの開口部は気流速度が遅くなっている。2つの開口をもつにase 1と4つの開口をもつにase 1と4つの開口をもつ

case24を比較すると、流入側の開口部は開口数の多い case24の方が気流速度が速いが、室全体の気流分布は、室全体では case 1の方が気流速度の速い領域が大きい。case 1や case 8のように、通気輪道が形成される場合には室内に循環流が生じ、結果的に室全体の気流速度が速くなる。開口の位置を変えることにより、開口数の少ない case でも開口数の多い case より室内の気流速度を速くすることができる。従って、非暖房期間の風向風速条件を考慮し、それぞれの都市にあった窓の開放位置を計画することが重要である。

#### 3.3 室内 CVDH の解析結果

図5に非暖房期間における東京・新潟の風配図・風向別の累積風速、図6に東京・新潟における室内CVDHの分布(case 1、case 3、case 8、case24)を示す。東京は、S、SW、NNW風向の割合が多く、この風向の風速去速し、新潟は、NNE、NE、SE、SSW風向の割合が

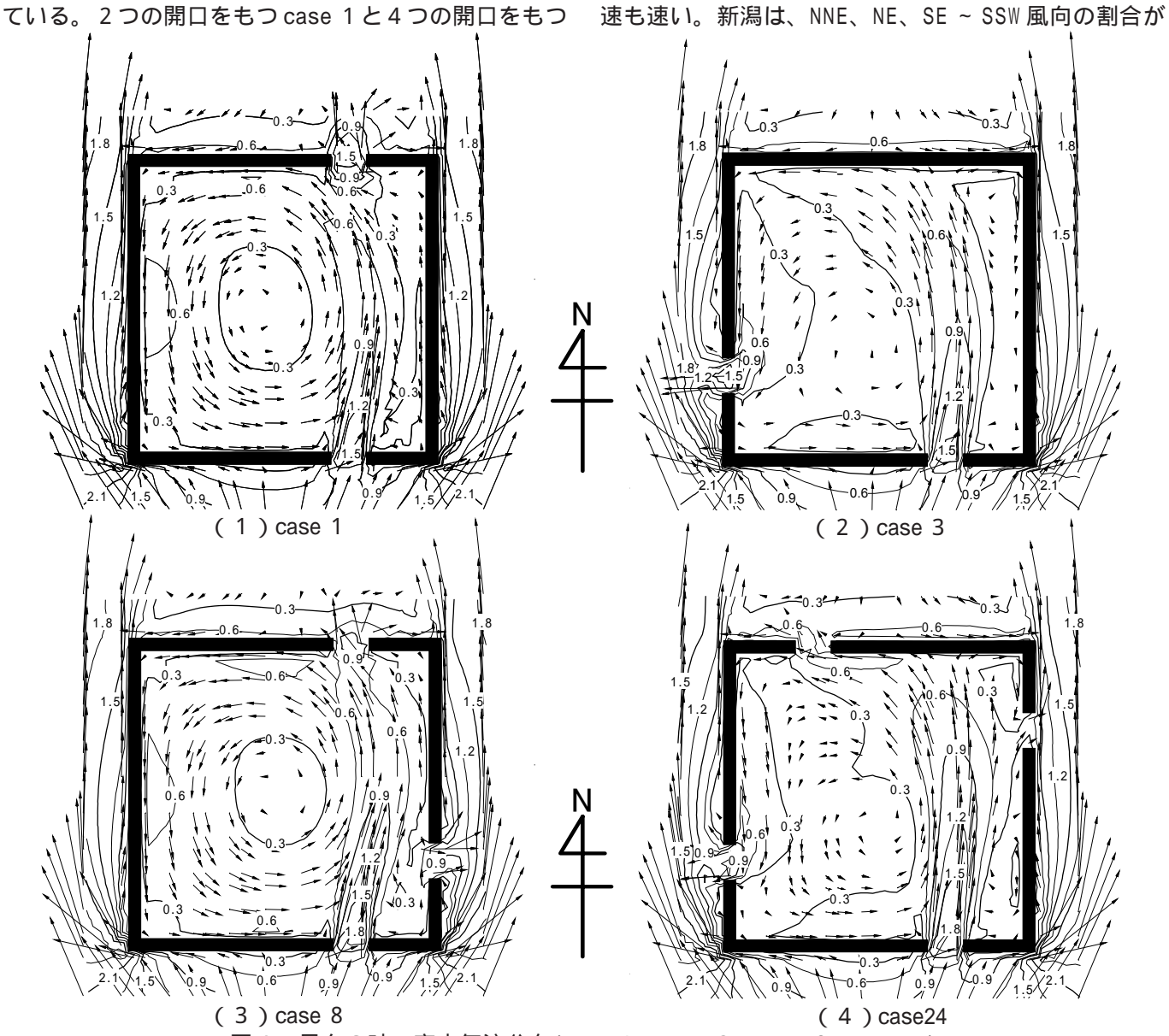


図4 風向S時の室内気流分布(case 1、case 3、case 8、case24)

多く、NNE、NE、SE ~ SSW の風速が速い。特に NNE、SE 風向の風速が速くなっている。2つの開口部をもつ case 1、case 3は、東京、新潟とも開口部付近で室内 CVDHは3000 h程度となっている。case 3 はどちら の都市も開口部付近の室内 CVDH の値は大きくなる が、開口部から離れた領域では室内 CVDH の値は小さ くなる。特に東京では、開口部付近以外では室内CVDH の値は1000 h以下となる。しかし、case 1 では、室 全体に室内 CVDH の値が大きい領域が広がっている。 CFD 解析結果では、開口条件による室内の風速分布の 違いから、室全体に気流速度の速い領域が大きいcase 1の方が室全体で大きな値を示している。平均室内 CVDH は、東京は case 1で2152 h、case 3で781 h、新潟はcase 1で2251 h、case 3で1317 hと なる。3つの開口部をもつ case 8 では、室内 CVDH の 値が3000 h以上の領域がcase 1より大きくなる。東 京では、開口部付近で室内 CVDH が 4000 hとなる。 平均室内 CVDH も case 1 より大きくなり東京で 2449 h、新潟で2669 hとなる。4つの開口部をもつ case24 では南側、西側開口部付近でどちらの都市も室 内 CVDH の値が 4000 h を超える。しかし、平均室内 CVDH は case 8 よりも小さく東京で 2438 h、新潟で 2495 hとなる。case 8 は室全体に室内 CVDH の値が 大きい領域があるのに対して、case24 は開口部付近の 気流速度が速い場所にのみ室内 CVDH の値が大きい領 域ができないため、室内平均 CVDH は case 8 の方が大 きくなる。非暖房期間は東京ではS、NNE、新潟では S、NNE 付近の風向が多く、どちらの都市もS側開口 部で室内 CVDH の値が大きくなり、東京ではW側、新 潟ではE側の開口部で室内CVDHの値が大きくなる。 また、case24 のように、全壁面に開口をもつ case に おいては、開口部付近では大きな値となるが、平均室 内CVDHでは開口数の少ないcase 8の方が値が大き くなる場合もある。建物の開口条件と都市の風向等

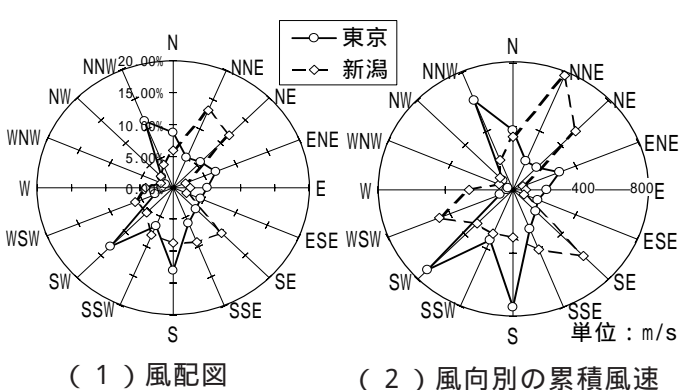


図5 非暖房期間における

東京・新潟の風配図・風向別の累積風速

気象条件を考慮する事は、建物の通風を考える時に極めて重要であり、室内気流分布と気象データを把握した上で建物の窓の開放位置を計画することが有効である。また、開口数を多くすることも重要な要素の一つであるが、開口数の少ない場合でも最適な位置に開口部を設けた方が通風を有効的に利用することができる。

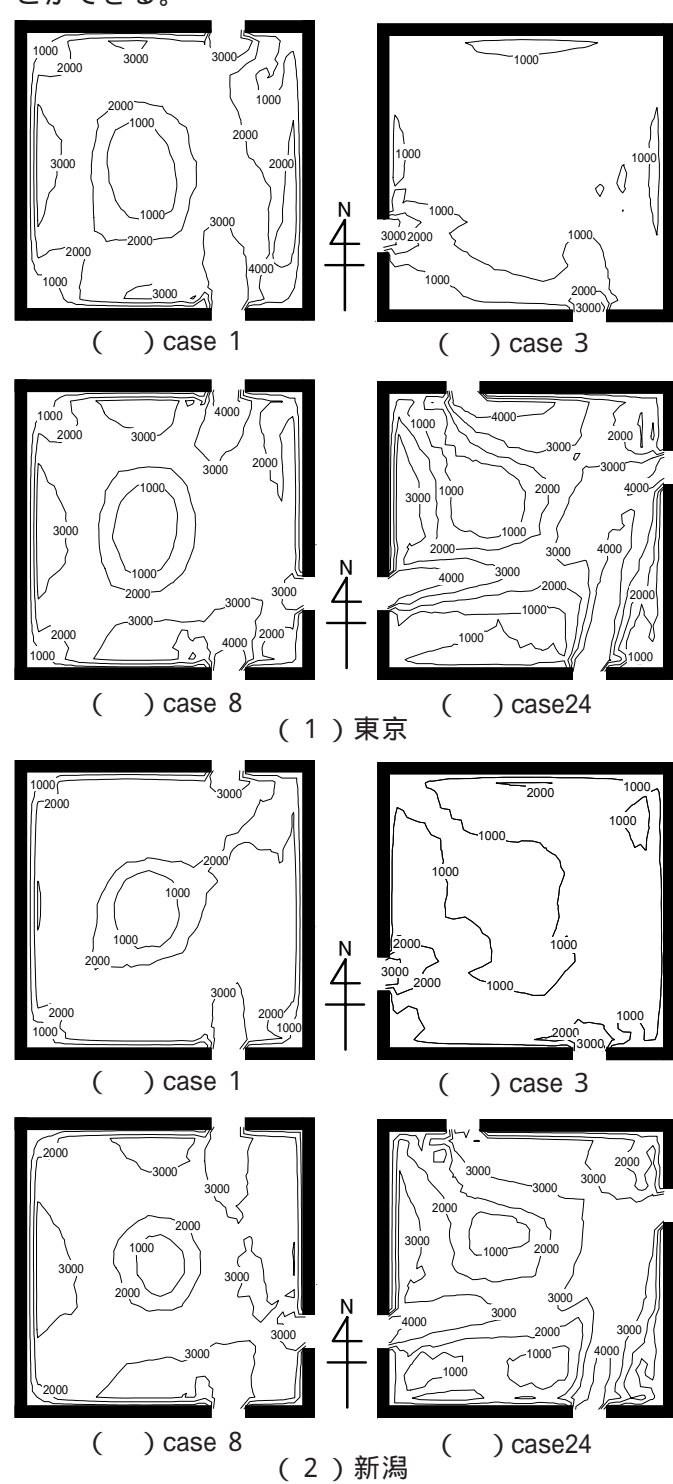


図 6 東京・新潟における室内 CVDH の分布 (case 1、case 3、case 8、case24)

## 4 全国の室内 CVDH 比較

## 4.1 全国の主風向と平均風速の分布

図7に全国の非暖房期間における主風向別平均風速 (地上高さ1.5 m)の度数を示す。全国的にNEからSWの範囲に主風向をもつ地域が多い。特に、SE、S風向

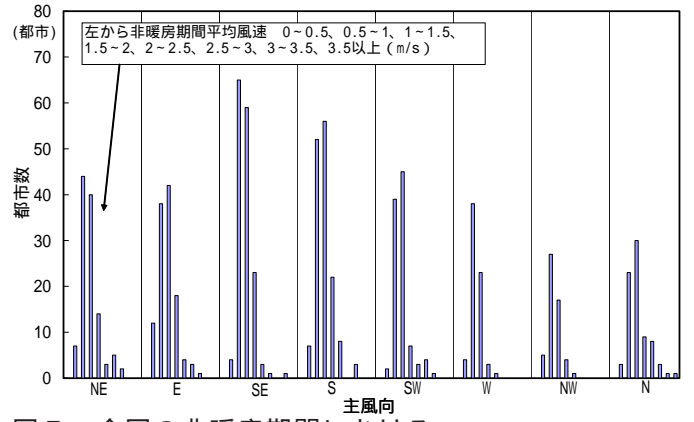


図7 全国の非暖房期間における 主風向別平均風速(地上高さ1.5 m)の度数

が主風向となる都市が多く、全国でほぼ同じ方位からの風が吹いていることがわかる。非暖房期間は、どの都市でも夏季に当たるため、太平洋側の高気圧や台風の影響が大きいと考えられる。各都市の非暖房期間の平均風速は0.5m/s から1.5m/s の範囲が最も多い。

## 4.2 全国の平均室内 CVDH の分布

図8にcase1における平均室内CVDHマップを示す。 北海道から南下するに従い、相対的に平均室内CVDH は大きくなる。また、海沿いで大きく、内陸は小さく なる。標高の高い都市は、夏期でも平均気温が低く、 非暖房期間が短いため、平均室内CVDHも小さくなる。 非暖房期間と同様に、草津や軽井沢では、同じ県の前 橋、長野よりも平均室内CVDHが小さく、草津で133 h、軽井沢で340 hとなる。また、九州でも阿蘇 山のように山間部では室内CVDHは小さく926 hと なる。全国の海岸沿いでは、日本海側よりも太平洋側 の方が平均室内CVDHは大きい。特に、関東から南の

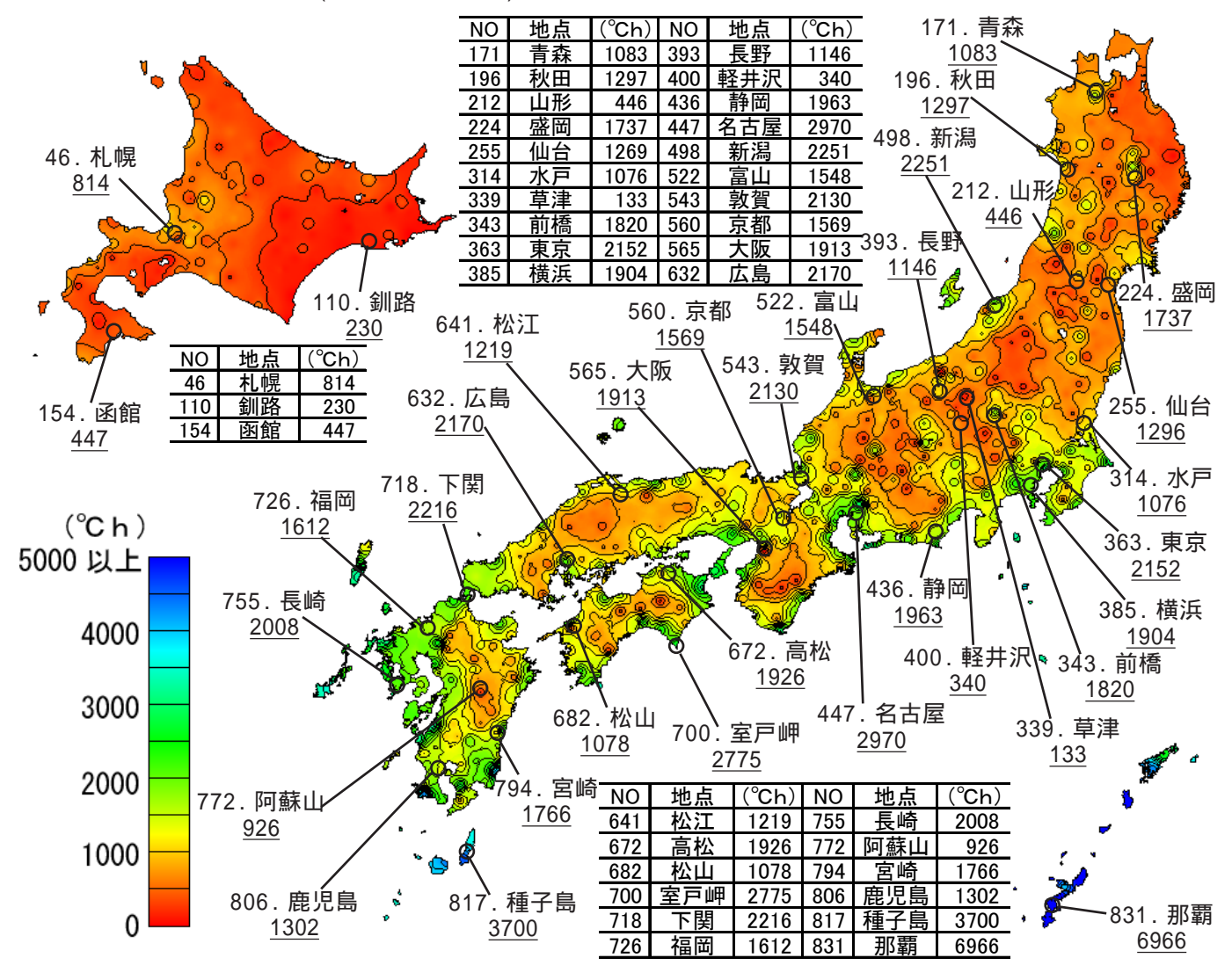


図 8 case1 における平均室内 CVDH マップ

海岸沿いの平野部では室内平均 CVDH が 2000 h前後となる。また、全体的に島部では非暖房期間が長いため、通風の効果を長期間得ることができ室内 CVDH は大きくなり、種子島で 3700 h、那覇では 6966 hとなる。

## 4.3 最適開口条件

表4に主要都市の開口数別の最適な開口 case、図9に開口数別の平均室内 CVDH が最大となる case の都市数を示す。開口数2では、case 1と case 5が、開口数3では case 8と case10が一位となる都市が多い。開口数4では case23が一位の都市が多い。開口の位置を比較すると、case 8、case23とも case 1と case 5の開口位置を基本とし、case 1に case 5の開口部を増やした形になる。どの case も開口部の位置が二辺で隣り合うか、直線上に並んだ形となり、室内に循環流が生じ、室全体の気流速度が速くなっている。図4で示した case24 は平均室内 CVDH が一位となる都市は存在しない。

## 5 データベースの構築

## 5.1 掲載データ

表 5 に WEB 掲載データを示す。全国 842 地点、25 case の室内 CVDH を算出し、各都市の最適な窓の開放条件と、通風の効果を定量的に現した。これらのデータは総数が二万を超えるため WEB 上にデータベースを構築する。また、日本建築学会標準住宅モデル等の各住宅モデル室内気流分布も掲載する。

## 5.2 掲載 URL

データ掲載 URL は、新潟大学大学院自然科学研究科 赤林研究室のホームページとし、全国通風データベー

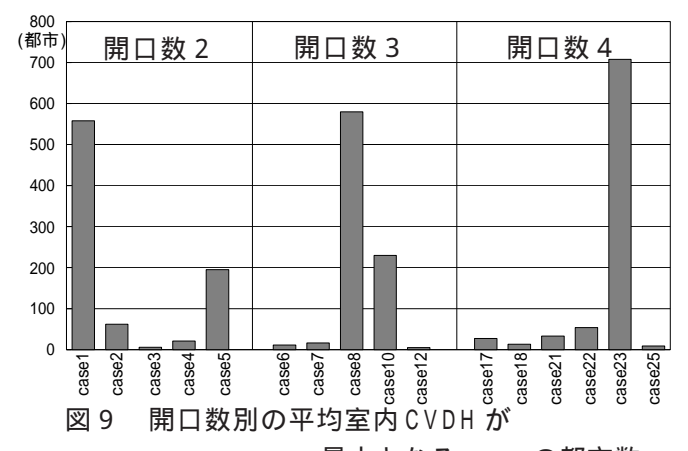
表 4 主要都市の開口数別の最適な開口 case

衣4 土安郁中の開口数別の取過な用口 Case						
	開口数2		開口	口数3	開口数4	
都市名	最適開口	平均室内	最適開口	平均室内	最適開口	平均室内
	case	CVDH( h)	case	CVDH( h)	case	CVDH( h)
札幌	1	814	7	861	23	1384
釧路	1	230	8	261	23	384
青森	1	1083	8	1399	23	1970
仙台	1	1269	8	1417	23	2334
水戸	2	1167	10	1732	23	1902
草津	1	133	8	165	23	277
前橋	1	1820	7	2091	23	3083
浦和	1	1438	10	1731	23	2646
東京	1	2152	10	2571	23	3725
横浜	1	1904	10	2471	23	3304
長野	5	1533	8	1635	23	2260
軽井沢	5	451	8	537	22	770
静岡	1	1963	8	2382	23	3699
名古屋	1	2970	8	3275	23	5319
新潟	1	2251	8	2669	23	4170
福井	1	2015	8	2234	23	3353
京都	1	1569	10	1940	23	2915
大阪	5	2667	8	2859	23	3864
広島	1	2170	8	2529	23	3825
松山	1	1078	8	1443	21	3288
福岡	1	1612	8	1824	23	2981
阿蘇山	1	926	8	1091	23	1557
鹿児島	1	1302	8	1644	23	2507
那覇	1	6966	10	8080	23	12115

スとして掲載する。URL は以下の通りである。 URL:http://tkkankyo.eng.niigata-u.ac.jp/index.html

#### 6 結論

- (1) 非暖房期間は、北海道は100日未満、東北で100日前後、関東、東海、関西地方では150日前後、四国、 九州地方では170~200日前後に多く分布している。 沖縄では暖房期間がほとんどない。非暖房期間は北から南、山間部から平野・海岸部に向けて長くなる。
- (2)室内気流分布は case 1 や case 8 のように、通気輪 道が形成されていた方が、室内に循環流が生じ室全 体の気流速度が速くなる。開口部の位置が二辺で隣 り合うか、直線上に並んだ時に循環流が生じやすく 室全体の気流速度が速くなる。
- (3)日本は全国的に、SE や S 風向が主風向となる都市が多く、非暖房期間の平均風速(地上高さ1.5 m)の分布は0.5m/s から1.5m/s となる。また、室内 CVDHは、北海道から南下するに従い、相対的に大きくなる。また、海沿いで大きく、内陸になるにつれ小さくなる。
- (4) 開口数2ではcase 1、開口数3ではcase 8、開口数4ではcase23が一位の都市が多い。開口部が二辺で隣り合うか、直線上に並んだ形の時に室内CVDHの値が大きくなる。
- (5)全国842 地点、25case の室内 CVDH を算出し、各都市の最適開口条件と、通風の効果を定量的に評価したデータベースを構築した。データは、新潟大学大学院自然科学研究科赤林研究室のホームページに掲載する。



最大となる case の都市数

		<u> 表 5 WEB 掲載 テータ</u> _
室内 CVDH	地点	全国842都市
	データ内容	1 . 非暖房期間
		2 . 非暖房期間風配図
		3 . 非暖房期間風速累積頻度
		4 . 開口数別の平均室内CVDHによるcase順位(上位3位)
		5 . 全caseの平均CVDH
CFD解析	各住宅モデル 気流分布	単純住宅モデル
		日本建築学会標準住宅モデル
		実在住宅モデル3棟